搪瓷热管式烟一风换热器在垃圾焚烧发电锅炉上的应用

梁兆志(广东生活环境无害化处理中心有限公司,广东省 广州 510000)

摘 要: 热管是一种高效率的传热元件,它是一种能迅速从一点到另一点传递热能的装置,由热管元件组成,根据热管的原理来进行热交换的换热器称为热管换热器。热管式换热器由于其结构简单,操作方便,换热效率高,能耗低等优点,已越来越受到人们的重视,成为具有很好应用前景的换热设备。现已广泛用于电力、化工、冶金、电力、计算机等行业。本文重点是介绍一个工程实例中,对热管式换热器在垃圾焚烧锅炉上的应用和设计进行了讨论。本文在热管换热器的设计过程中,主要对热管换热器的热力计算、元件参数选择等做了合理的构造,并根据实际情况设计了空气预热换热器的基本模型。

关键词: 瓷釉热管; 设计

1 引言

为了使生活垃圾焚烧炉的二噁英达到超低排放和多发电两个进步,根据化学热力学原理,更高的炉膛温度,比如从目前普遍的 1000℃提高到 1500℃上下,可以在短时间内让二噁英彻底分解,并且提高单位空间的处理能力。但是,由于生活垃圾的热值很低,以常温空气燃烧是很难达到 1500℃的,必须要预热空气,热空气的预热有多种方法,而以烟气余热与空气换热的方式是效益最好的,又因为垃圾烟气的腐蚀性很强,所以要采用搪瓷热管式烟 – 风换热器(下文简称此换热器),搪瓷是施加在烟气侧。

此换热器的研发,目的是为解决垃圾焚烧行业空气预 热器耐酸蚀问题开辟新的途径,这是本研究的意义所在。

根据热管换热器自身的结构特点,只需要在烟气瑞表面施加搪瓷层,就可以达到相当高的使用寿命,且操作安装方便,安全可靠,效益可观。热管单元在热交换器内部中间固定,两端可自由伸缩,采用承插式管坐使热管单元易于安装,更换维护,运行安全可靠。因为风侧压力高过烟侧,插管口处的轻微漏气是允许的。

下文对用搪瓷涂层热管式烟 – 风热交换器进行了理论 计算和实验研究。

2 此换热器的应用场合的特点和问题应对方法及推广 应用对象

此换热器用于烟气余热回收,其结构是通过中隔板将冷热流体完全隔离,单根热管在运行中由于磨损、腐蚀、超温等原因而损坏时,基本不会影响换热器的正常运转。在易燃、易爆、腐蚀性强的流体换热场合,热管换热器具有极高的可靠性。热管换热器冷流体和热流体完全分离流动,可较容易地实现冷流体和热流体的逆流换热。管外带翅片,由于翅片管的传热系数比光管的要高得多,用于热能回收品位低的且传热膜系数较低的空气预热场合非常经济,本场景烟气高含尘强腐蚀,此换热器通过搪瓷保护、震打除灰等方式来解决其磨损和堵灰问题。

此换热器可大大提高预热空气进入炉内的温度,降低烟气温度,从而大大提高锅炉的热效率;另一方面,热管气-气换热器运行压降极小,有时甚至无需增加引风机等设备,使锅炉的运行费用大大降低,可以推广到已建成垃圾焚烧电厂锅炉。

3 热管单元结构

热管单元结构如下图:

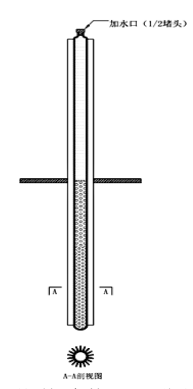


图 1 热管结构及工作原理图

每个热管单元是独立的,密闭的空间内充有工作介质, 根据所传递的冷热流体的温度高低,可以选择合适的介质,介质要求化学性质稳定,100-300℃最好用水。本例所用热管为重力循环式,无需充装毛细管,提高可靠性。

每根管于隔板处有密封性管坐, 在此略去。

4 此换热器的结构和计算模型

此换热器的模型如下图:

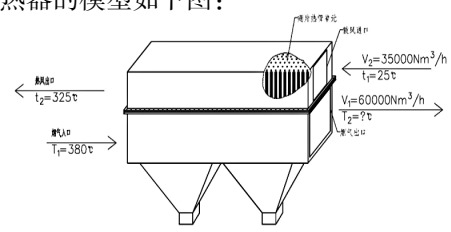


图 2 热管式烟风换热器结构示意图

图中前头标示了烟气和风的流动方向和流量等数据,漏斗为除灰集灰装置外形,采用震打除灰方式,震打装置未作标示。

5 此换热器的计算

5.1 此热管换热器的计算

已知:

烟气流量 V₁=60000Nm³/h

烟气进气温度 T₁=380℃

烟气的定压比热容(300℃)Cp_i=1.1×10³J/kg・K 烟气密度(标况下)ρ=1.35kg/m³

风量 V₂=35000Nm³/h

进风温度 t1=25℃

出风温度 t2=325℃

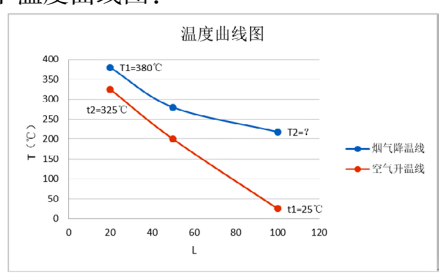
空气的定压比热容(175℃)Cp₂=1.022 × 10³J/kg・K 空气密度(标况下) ρ =1.29kg/m³ 散热损失取5%

求:

烟气出口温度? 若热管总传热系数 K 取 $139w/K \cdot m^2$,需要多大传热面积? 热管中径为 50mm,空气侧长 650mm时,需要多少支管?

解:

按如下温度曲线图:



烟气质量流量 $M1=\rho_1 \cdot V_1=1.35 \times 60000=81000$ kg/h 空气质量流量 $M2=\rho_2 \cdot V_2=1.29 \times 35000=45150$ kg/h 则可算出空气热能需要量:

$$Q = Cp_2 \Delta t M_2$$

$$= 1.022 \times 10^{3} \times (325 - 25) \times 45150 \times (1 + 5\%)$$

$$= 1.45 \times 10^{10} J/h$$

则:

$$\Delta T = Q / Cp_1 M_1$$

= 1.45×10¹⁰ /1.1×10³×81000

 $T_2 = T_1 - \Delta T = 380 - 163 = 217$ ℃ 求此换热器的传热面积 A。

按传热总方程 Q=KA Δ T_m

先计
$$\Delta T_m = \frac{\Delta t_2 - \Delta t_1}{\ln \frac{\Delta t_2}{\Delta t_1}}$$
$$= \frac{192 - 55}{lan \frac{192}{55}} \approx 110^{\circ}C$$

 $A=Q/K\Delta T_n = 1.45 \times 10^{10} / (139 \times 110 \times 3600) = 263 m^2$ 传热面积计算:

A=Q/K* Δ Tm= (325-25) \times 1.022 \times 1000 \times 35000 \times 1.29/ 139*110*3600=263m²

管数计算:

 $A = n\rho \pi d$

n=A/ρ πd=263/0.65×3.14×0.05 ≈ 2580根

5.2 热管单元设计和选型

热管设计主要包括: 热管外壳设计,工质选择,吸滤材料选择,中间密封性设计封口结构设计及相关计算;这(上接第107页)行特点的设备,为这项新的技术的推广打下了基础。

参考文献:

- [1] 董文博.U-GAS 粉煤气化技术[J]. 广州化工,2013,41(22): 155-157.
- [2] 刘海波,吴巧梅,傅卫平,等.煤化工用调节阀耐磨涂层工艺技术研究[]].仪器仪表学报,2012(12):2825-2832.
- [3] 杨路. 锁斗系统常见故障的判断及处理[J]. 山东化工,2013,42(11):178-179.

些因素中, 热管直径、热管长度、翅片结构参数决定了翅 片效率和翅化比, 对换热器的传热和流阻性能有很大影响, 还涉及到换热器的紧凑程度、投资和运行费用。

对于垃圾焚烧发电锅炉,由于烟气量大,温度高,发电锅炉对热管的可靠性要求很高,所以要考虑用搪瓷保护烟气侧,并且在280℃以上高温段使用低熔点金属工质,这些领域都很少有人涉及,相当前沿,需要勇敢偿试。

在热管换热器计算前要先确定其结构尺寸,如热管直径、翅片高度、翅片厚度、翅片间距、翅片间距、热管长度等。

总结

总而言之,与传统管壳式换热器相比,热管式换热器 具有较高的传热效能。它的优点主要体现在: 热管换热器 可通过中隔板将冷热流体完全分离,单根热管在运行时由 于磨损、腐蚀、超温等原因而损坏时,基本上不会对换热 器造成影响。在易燃、易爆、腐蚀性强的流体换热场合, 热管换热器具有极高的可靠性。热管内冷、热流体完全分 离流动, 可较容易实现冷、热流体的逆流换热。冷、热流 体都是在管外流动,由于翅片管的传热系数比光管的要高 得多,用于气-气传热,回收品位低的场合非常经济。对 于高含尘流体,热管换热器可通过改变结构、扩大受热面 等方式来解决其磨损和堵灰问题;用于腐蚀性烟气余热回 收的热管换热器,可通过调整蒸发段、凝结段的传热面积 来调整热管管壁温度,使热管尽量避免受到最大腐蚀。本 论文的创新点包括:应用计算机编程设计计算和新的热管 箱结构。本实用新型用于腐蚀性烟气余热回收时, 可通过 调整蒸发段,冷凝段的传热面积来调整热管的管壁温度, 使热管尽量避免受到最大腐蚀。本论文的创新点包括:新 的热管箱结构,这一新结构包括不可拆分结构和震打除灰 集灰装置;本文提供了烟-风换热器的简化计算方法并示 例计算过程,并且提供了介质的物理常数,为提高从业者 计算效率提供了参考。

参考文献:

- [1] 张全斌, 杨建国. 超低排放机组烟气换热器搪瓷换热管应用[]]. 热力发电,2017,046(009):130-134.
- [2] 丁得龙. 燃煤电厂管式烟气换热器的材质选择与设计 [J]. 资源节约与环保,2017,000(012):1-1.
- [3] 潘鹏飞, 蒋伟忠. 超长搪瓷管制造工艺研究 [J]. 玻璃与搪瓷, 2019, v.47(02):37-39.
- [4] 杨志强,周志豪.管式辐射换热器的计算机辅助设计与计算[[].玻璃与搪瓷,1990(01):39-46.
- [5] 曲国斌, 邢翰学. 耐腐蚀搪瓷管烟气冷凝换热器 [Z].2018.
- [4] 曹辉, 雷磊, 钱威. 高差放空调节阀的故障分析及滑板阀的应用 []]. 煤化工, 2015, 43(1):61-63.
- [5]G. A. Ryabov ,O. m. Folo meev ,D. A. Sankin ,D. A. melnikov.Results of Theoretical and Experimental Studies of Hydrodyna mics of Circulation Loops in Circulating Fluidized Bed Reactors and Systems with Interconnected Reactors[J]. Thermal engineering,2015,62(2):151-153.
- [6] 程更新.Shell 粉煤气化炉堵渣问题探讨[J]. 大氮肥,2013,36 (2):85-89.